

Fig. 1

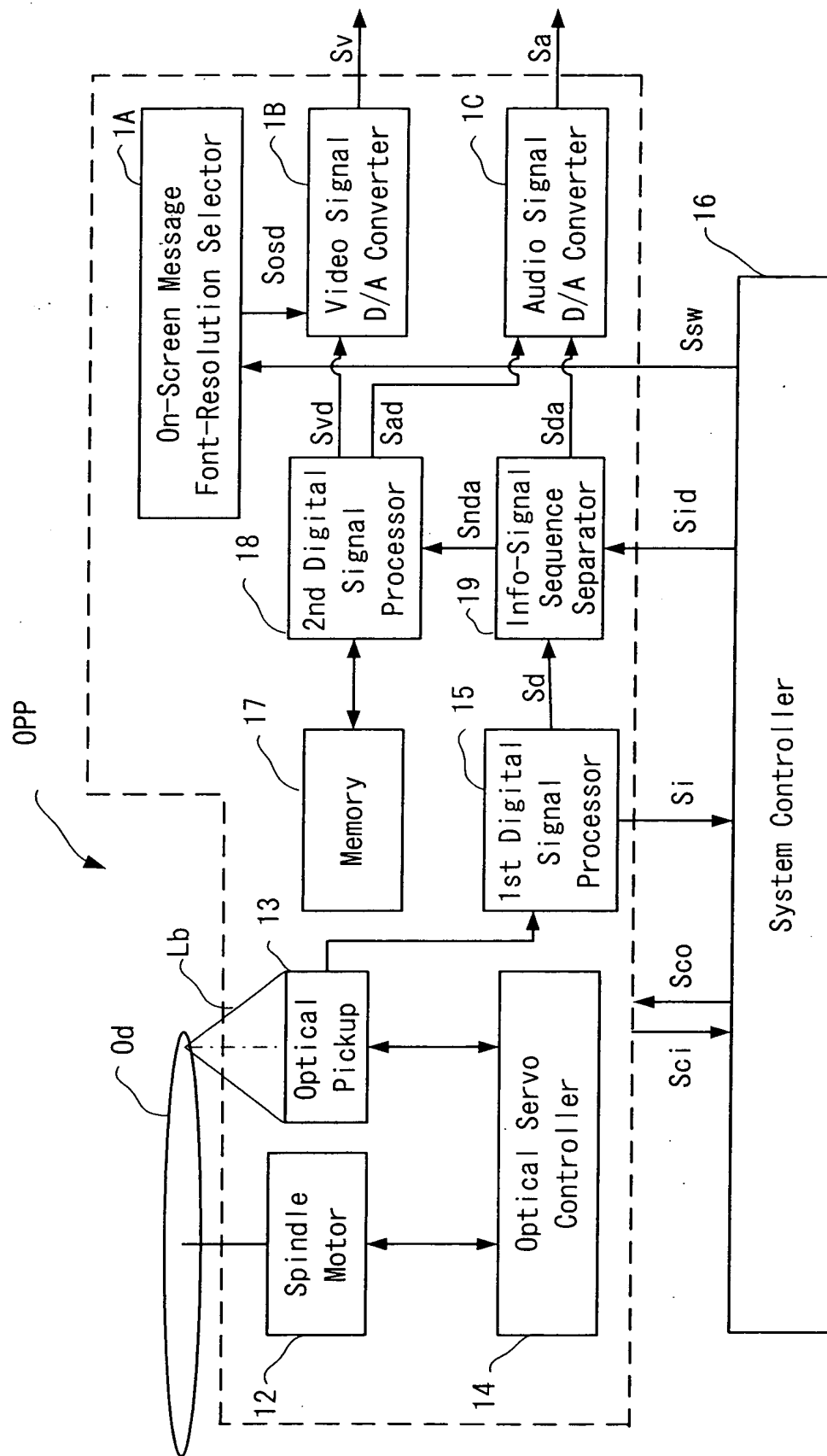
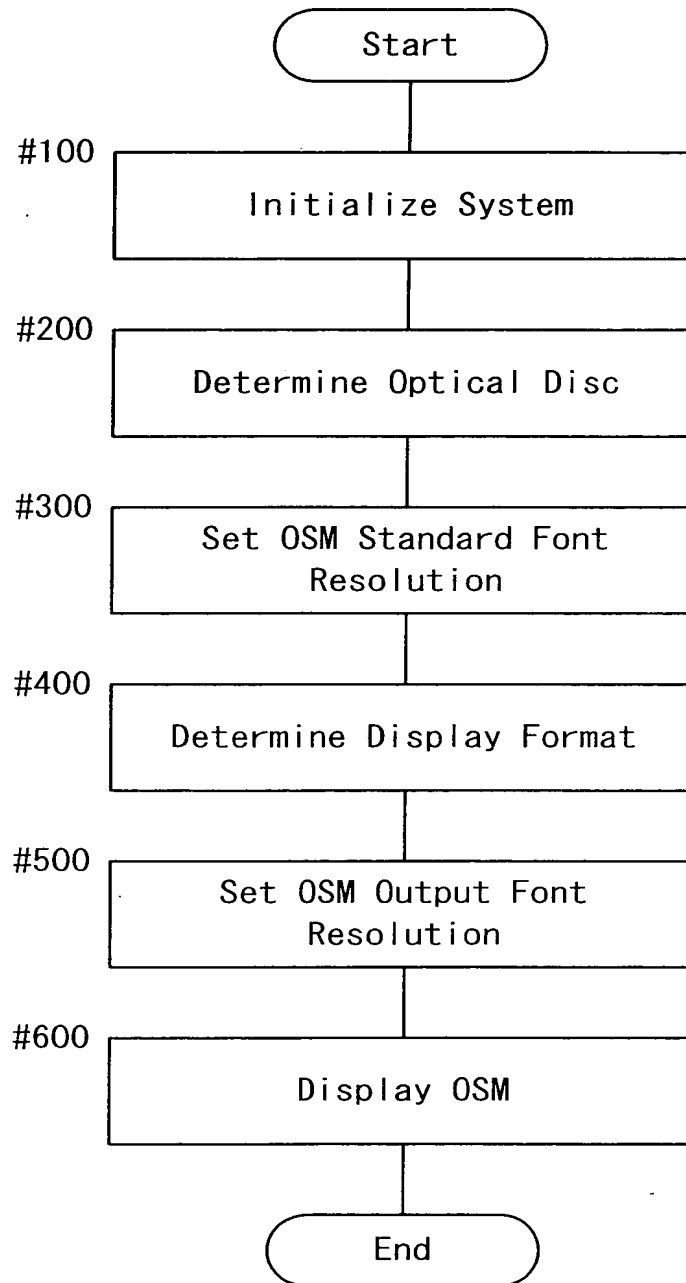
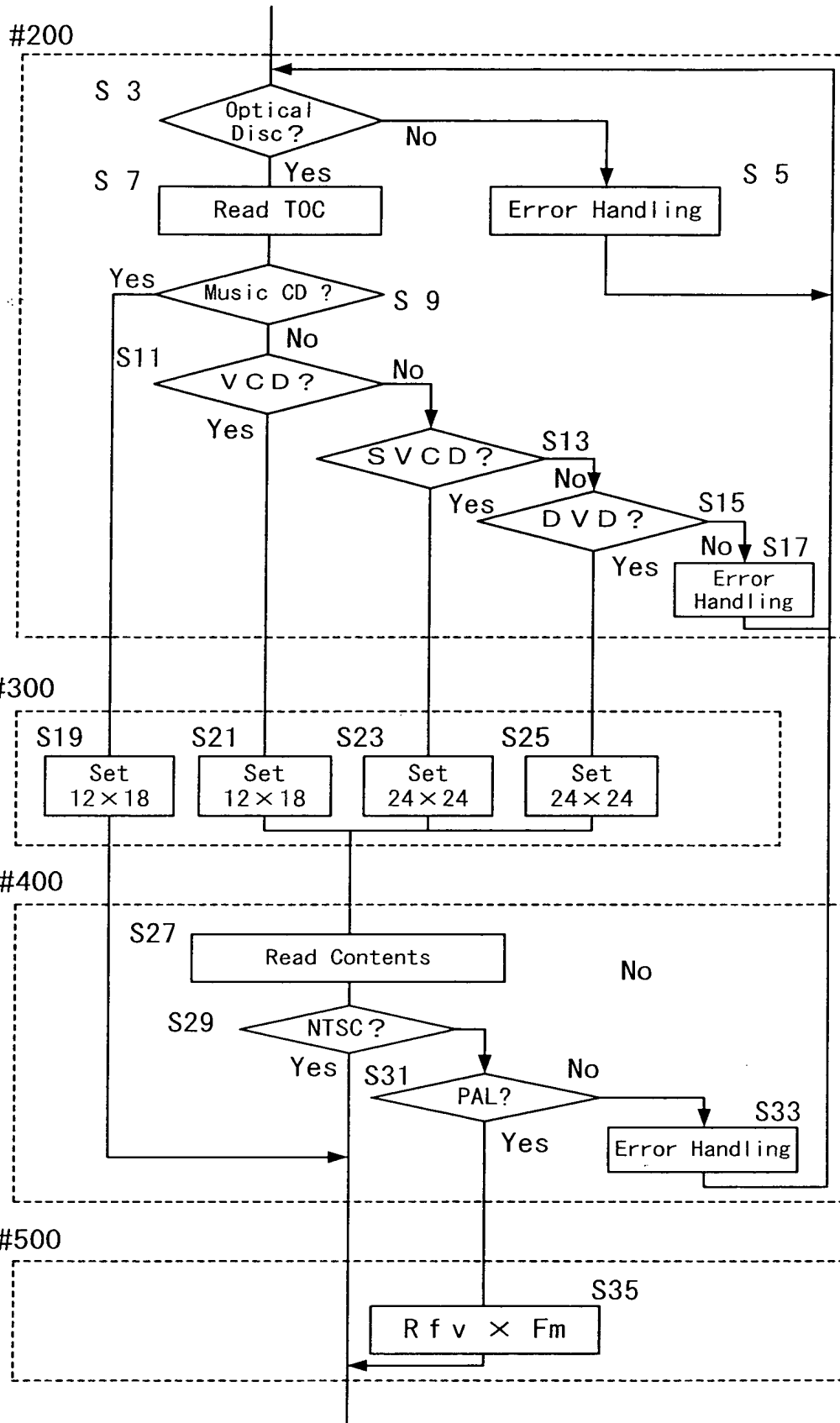


Fig. 2



09697133-102700

Fig. 3



002201" 002201" 002201"

Fig. 4A

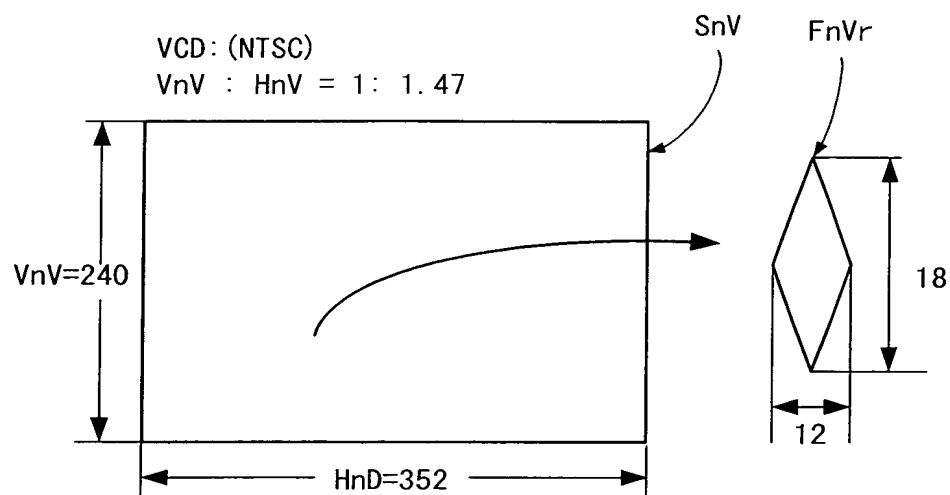


Fig. 4B

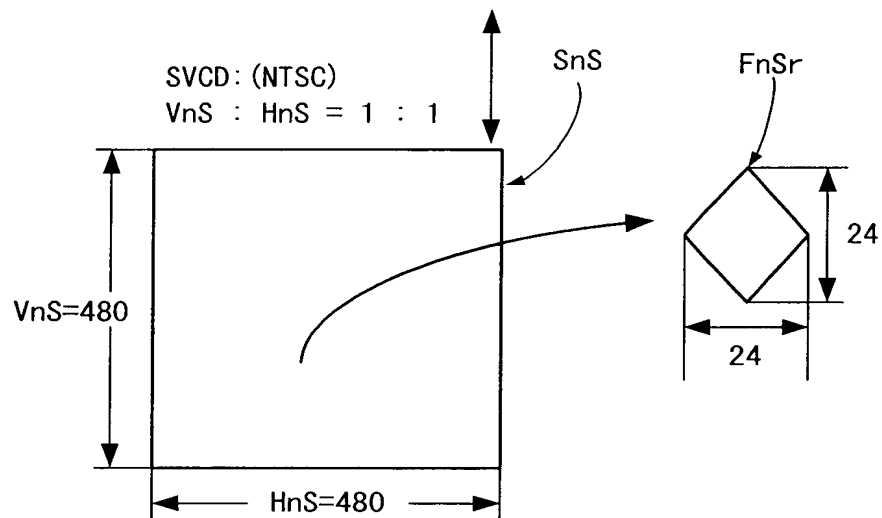


Fig. 4C

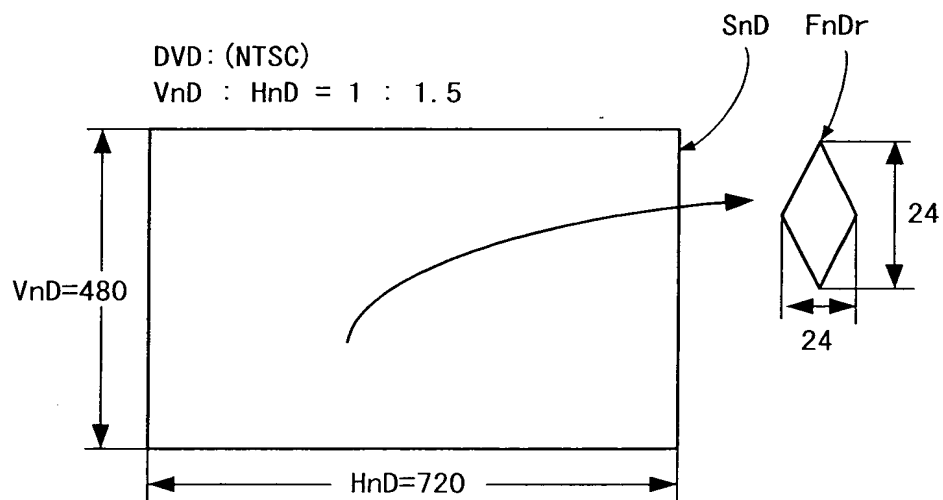


Fig. 5A

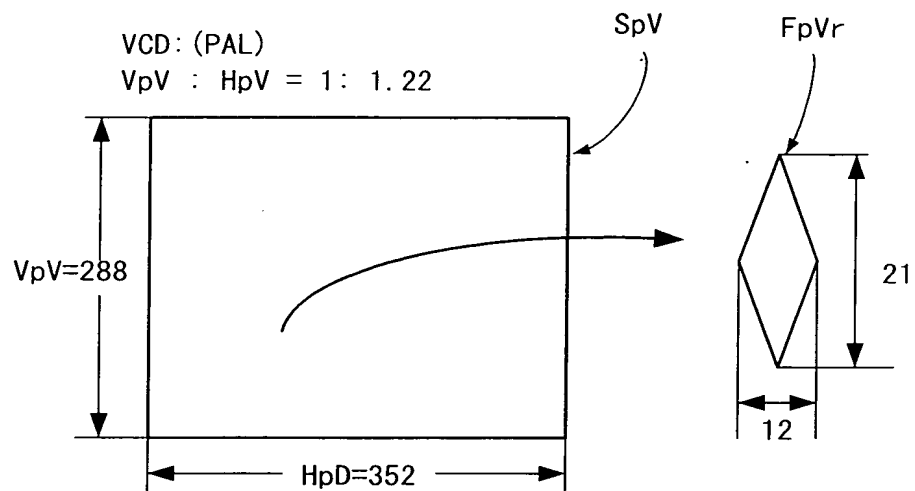


Fig. 5B

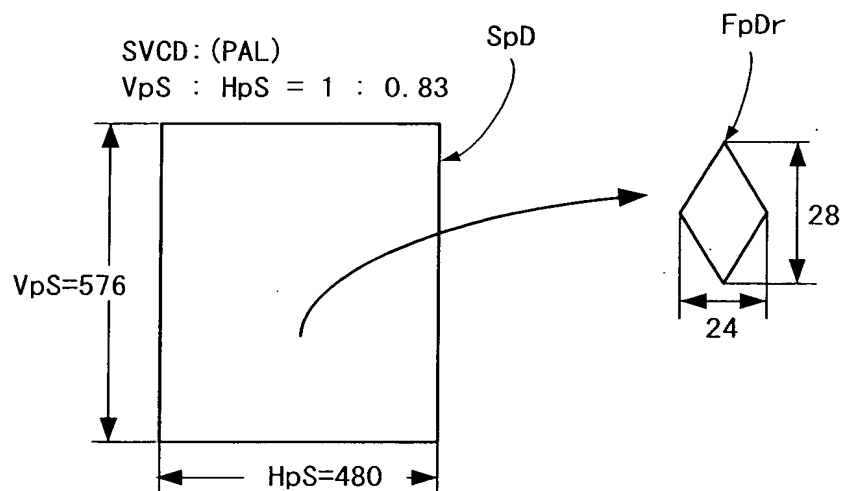
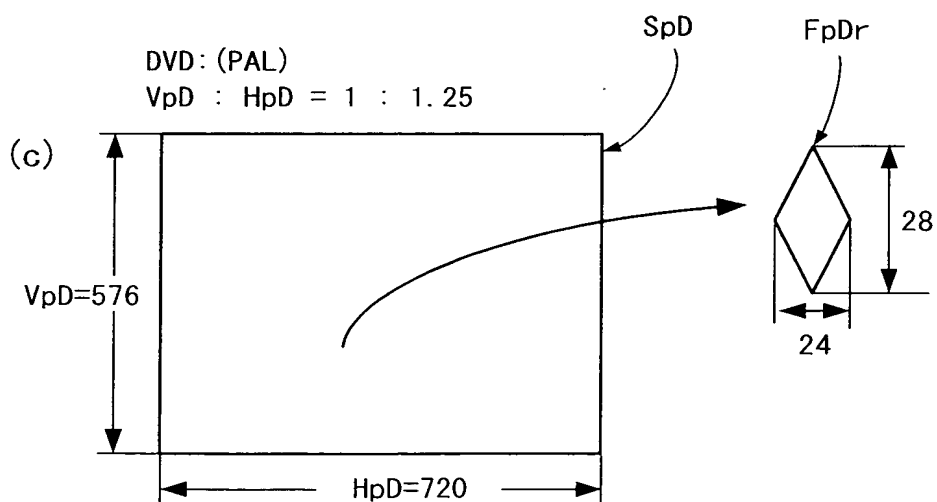


Fig. 5C



002201" EET 26960

Fig. 6

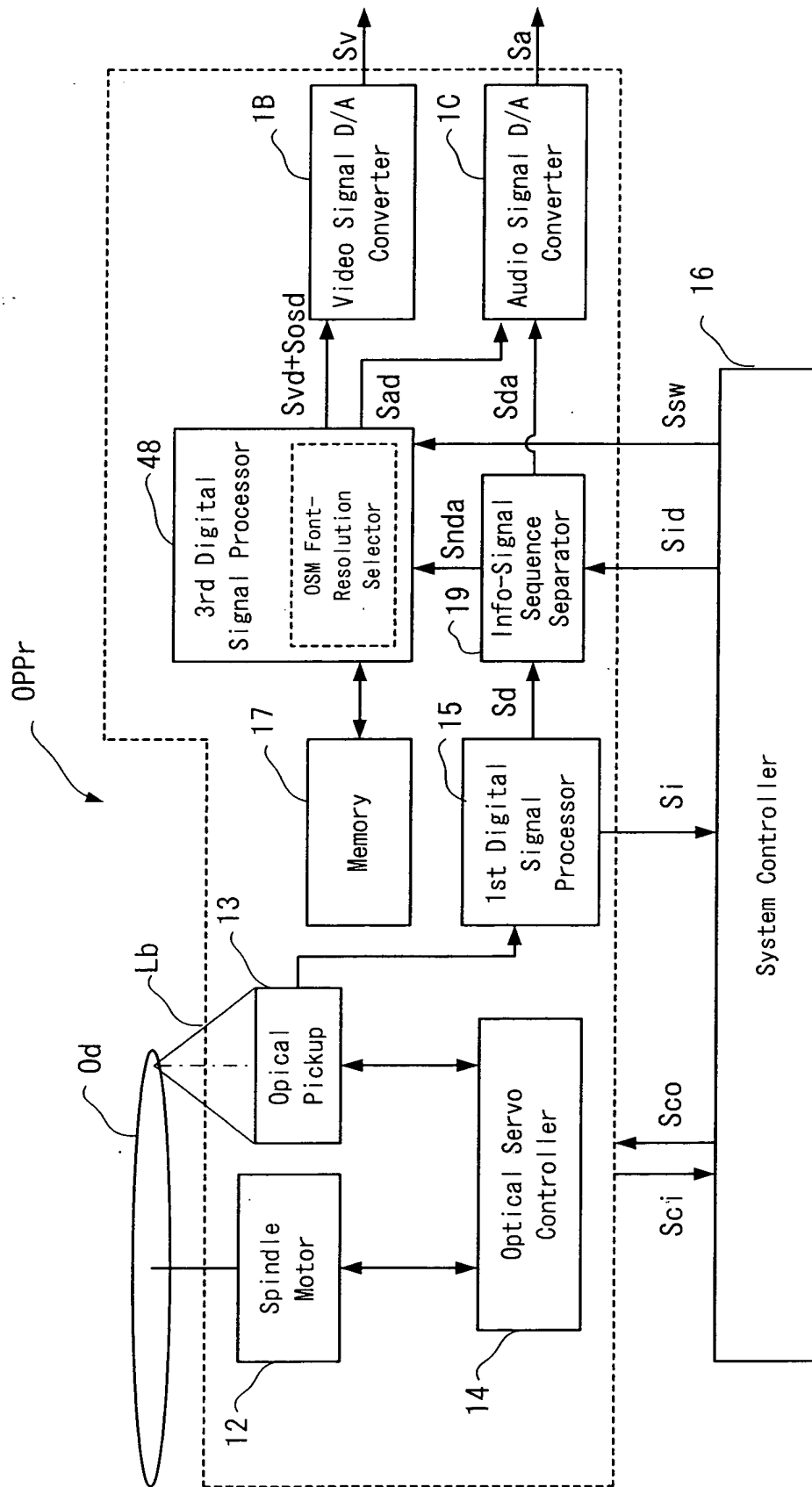


Fig. 7

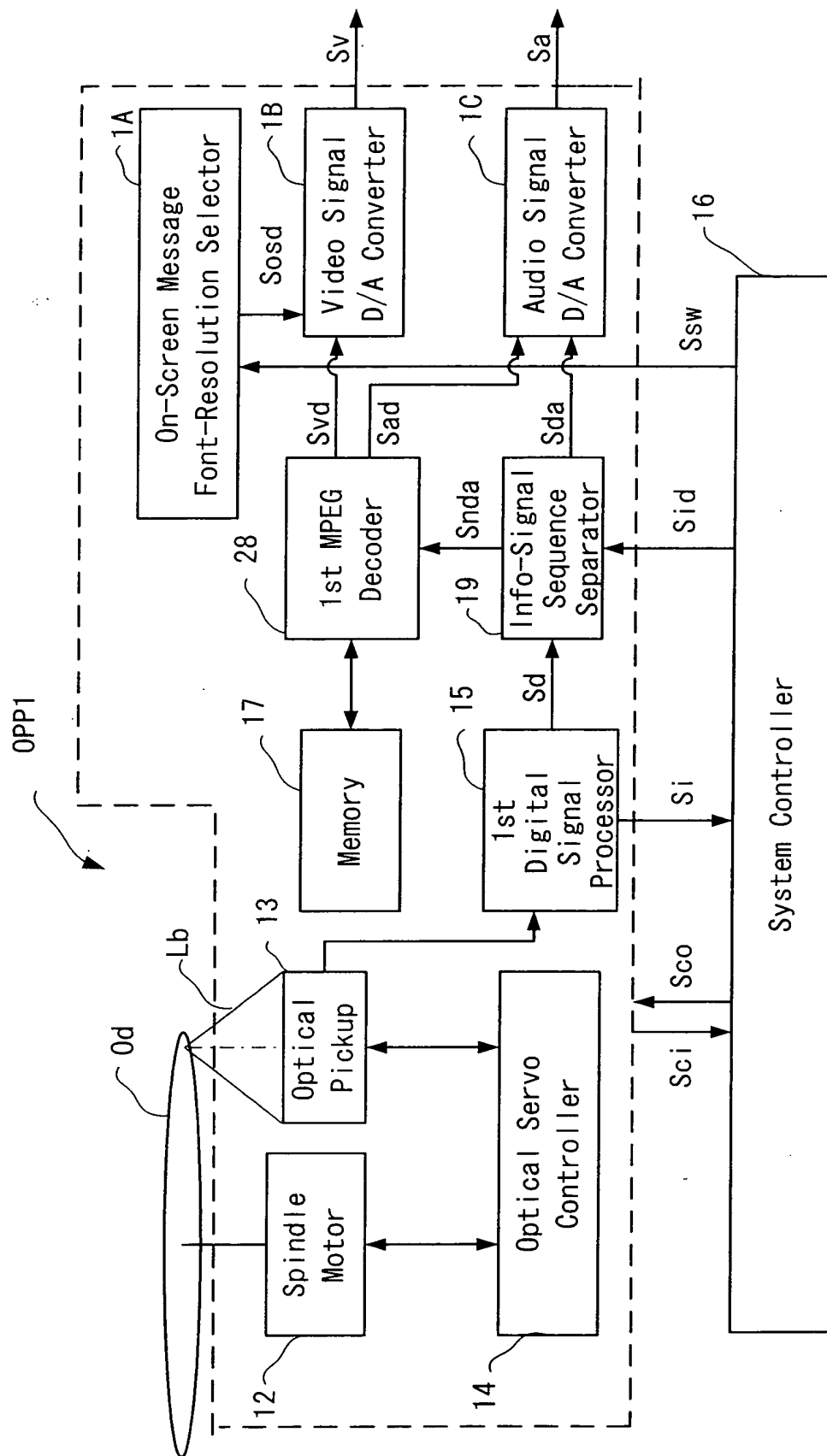


Fig. 8

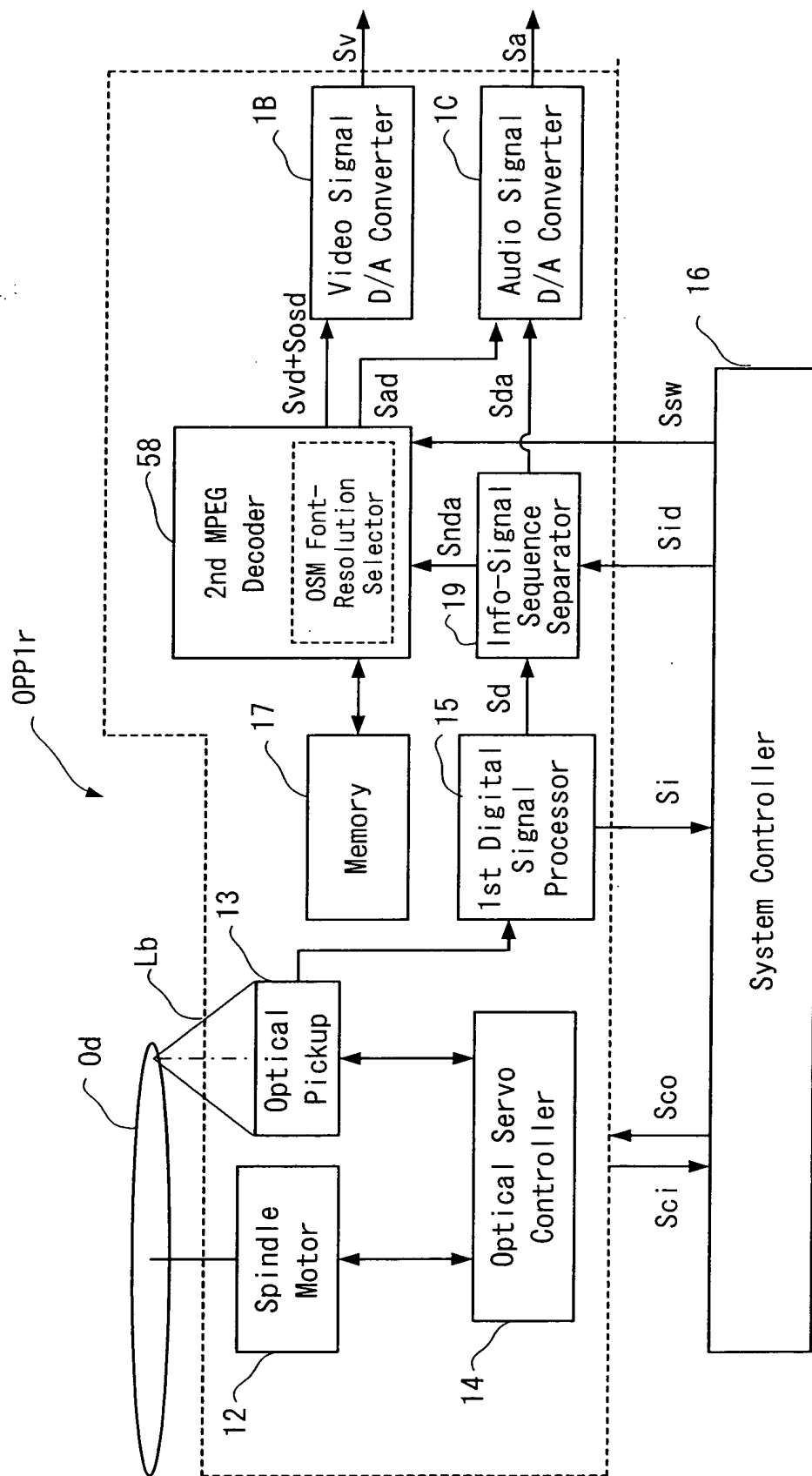


Fig. 9

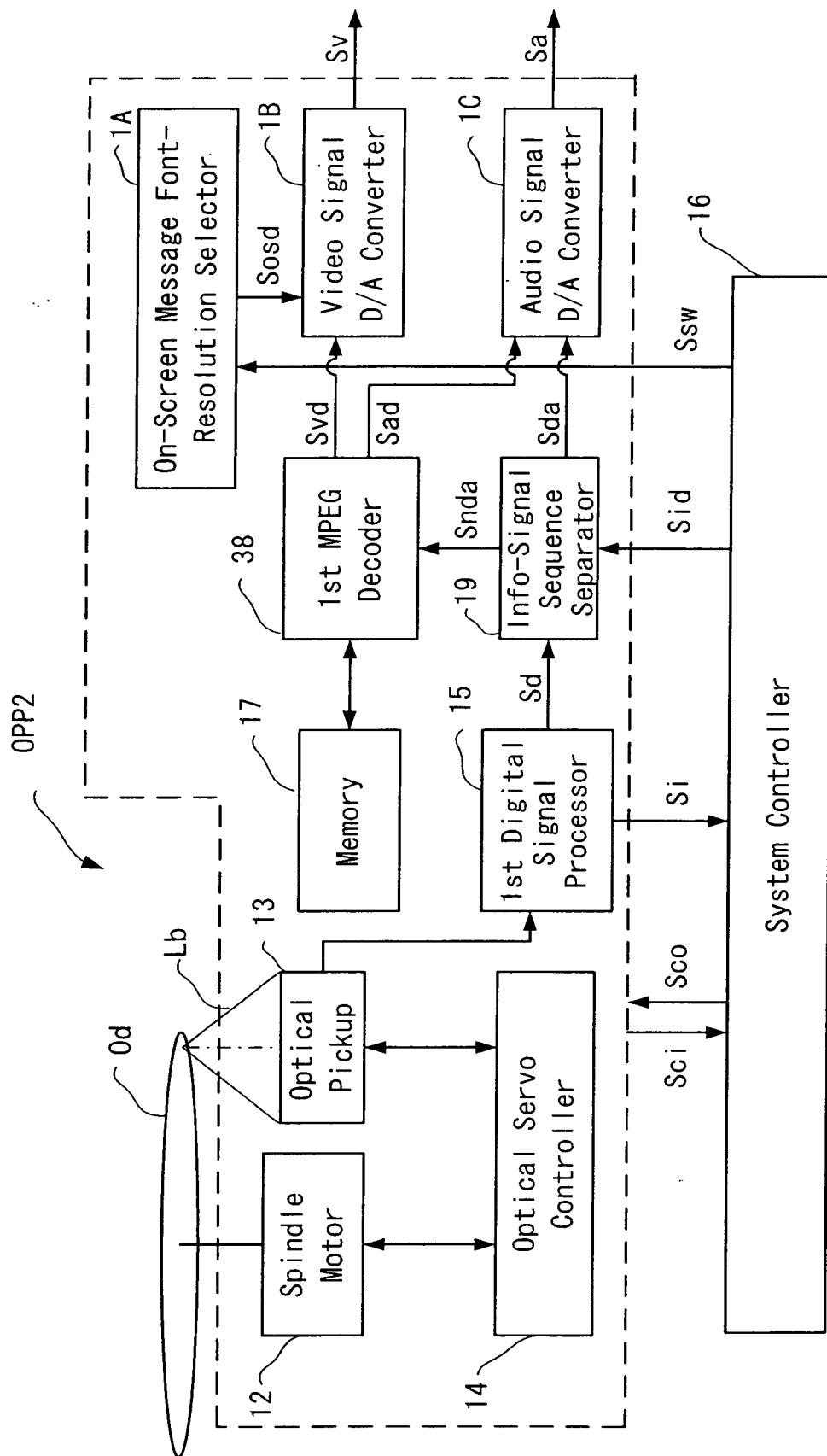


Fig. 10

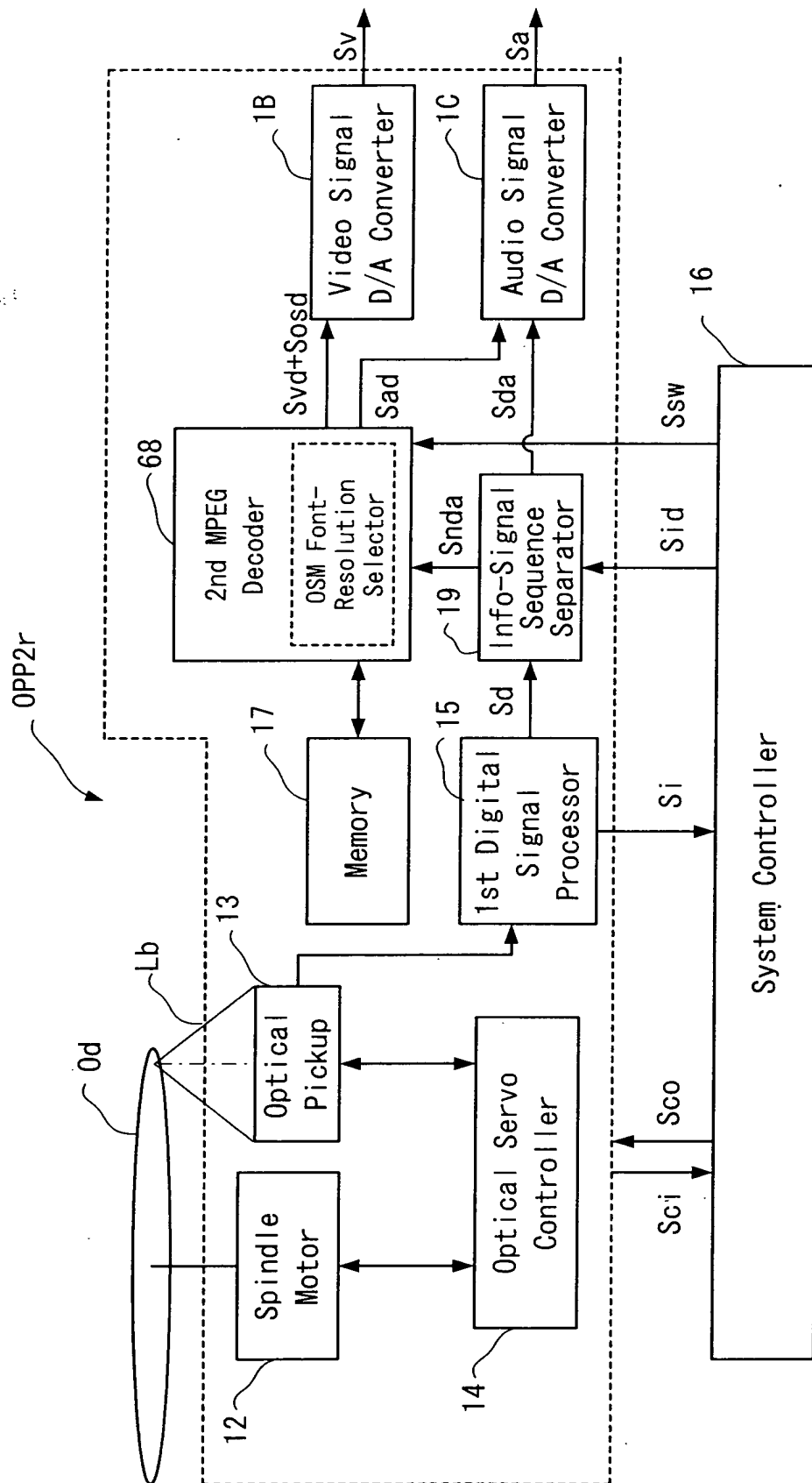


Fig. 11 Prior Art

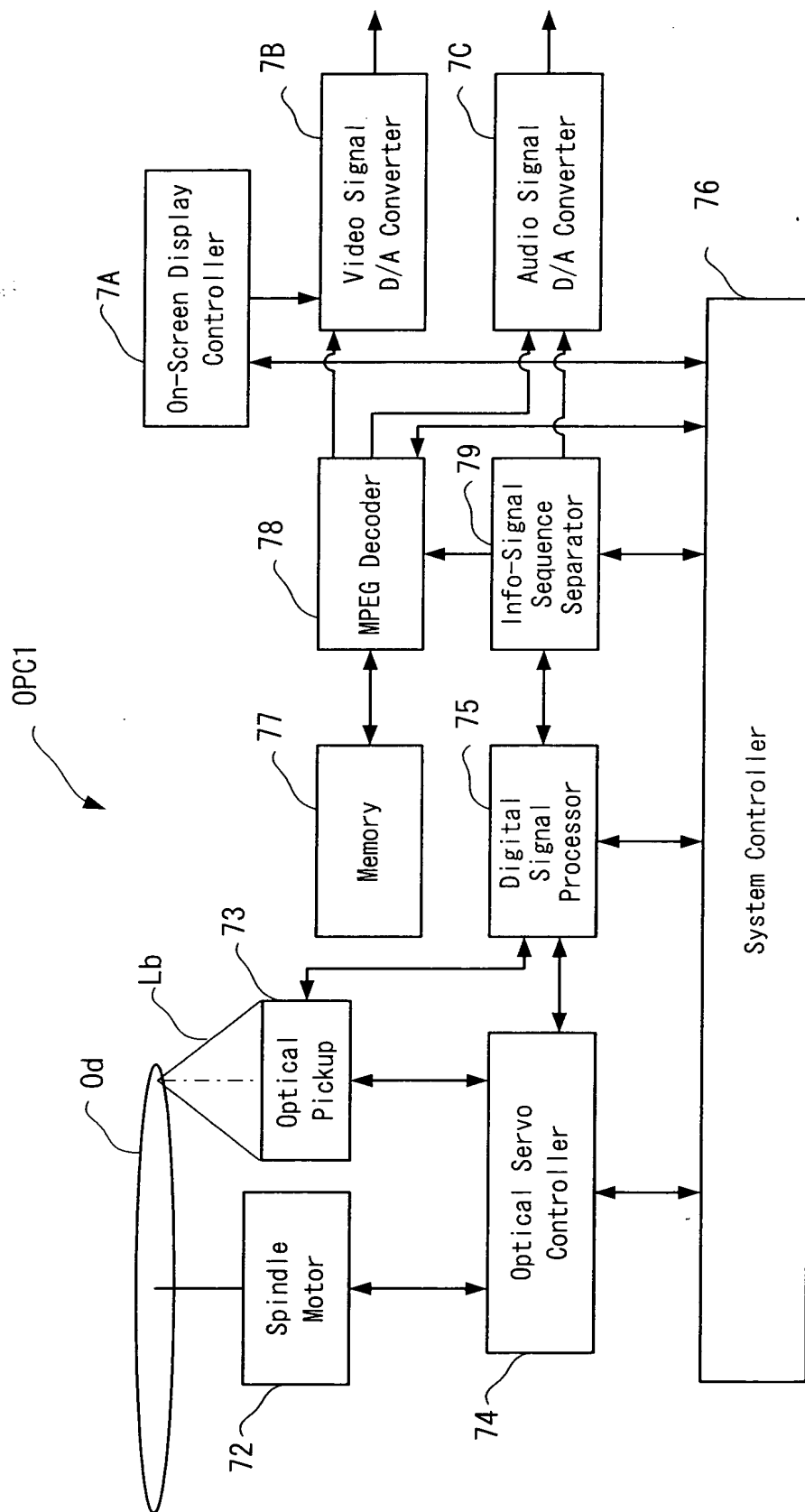


Fig. 12 Prior Art

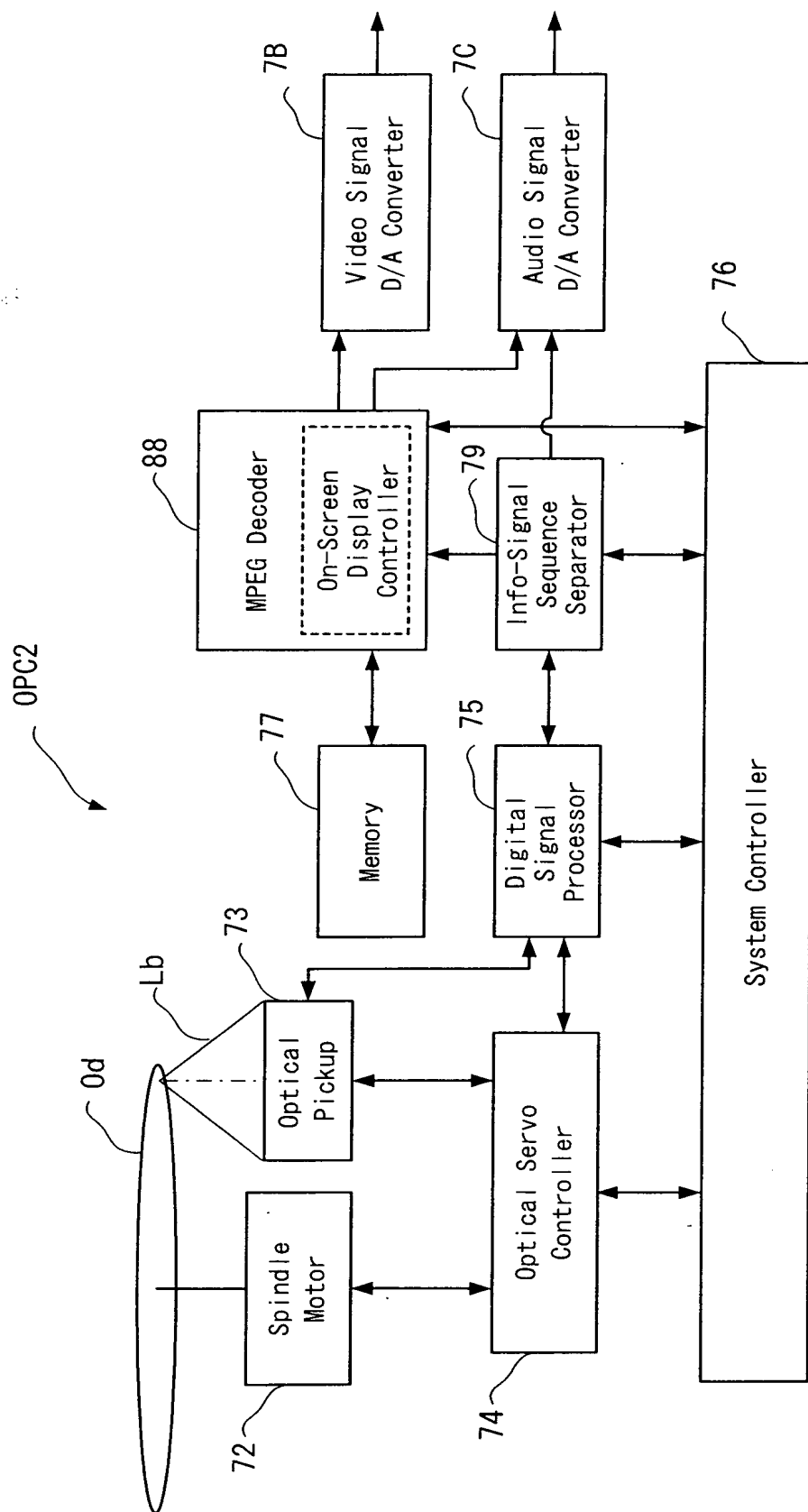


Fig. 13 Prior Art

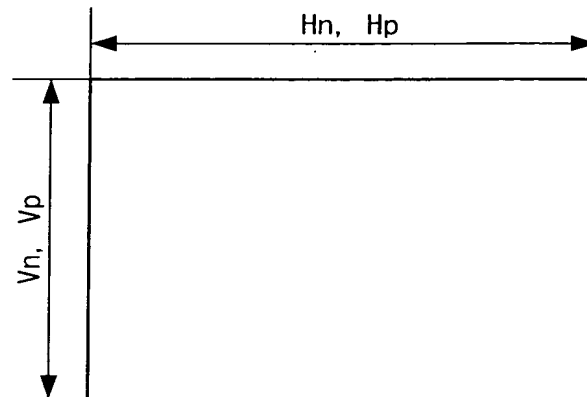


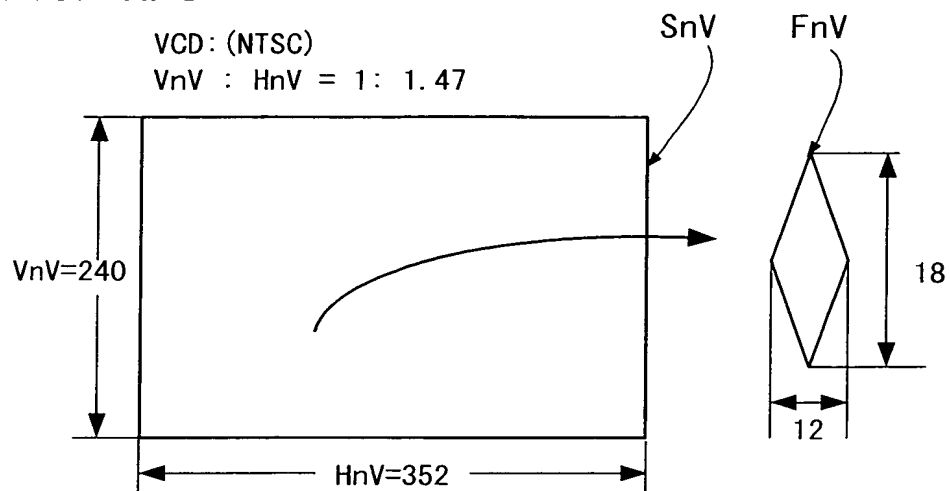
Fig. 14 Prior Art

NTSC					
OD	$V_n$	$H_n$	$H_n/V_n$	$V_n/V_nV$	$H_n/H_nV$
VCD	240	352	1.47	1	1
SVCD	480	480	1	2	1.36
DVD	480	720	1.5	2	2.05

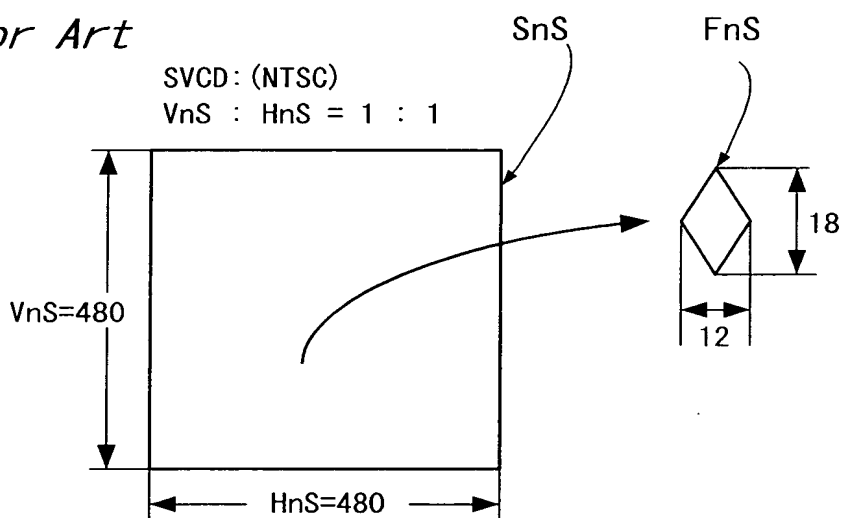
Fig. 15 Prior Art

PAL					
OD	$V_p$	$H_p$	$H_p/V_p$	$V_p/V_pV$	$H_p/H_pV$
VCD	288	352	1.22	1	1
SVCD	576	480	0.83	2	1.36
DVD	576	720	1.25	2	2.05

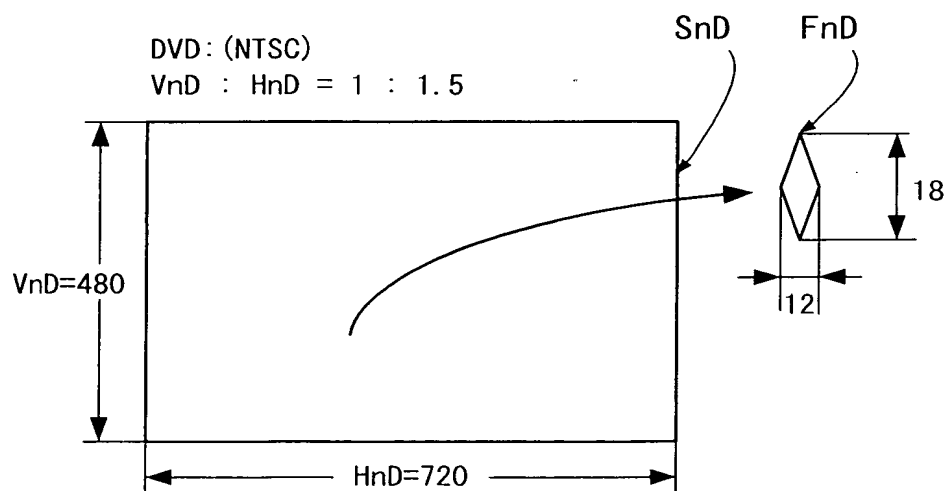
**09-28-10**



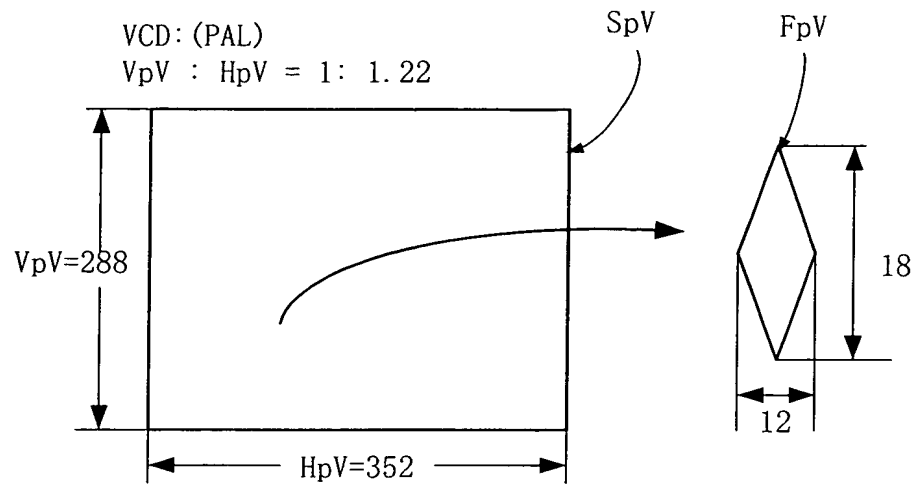
*Fig. 16B Prior Art*



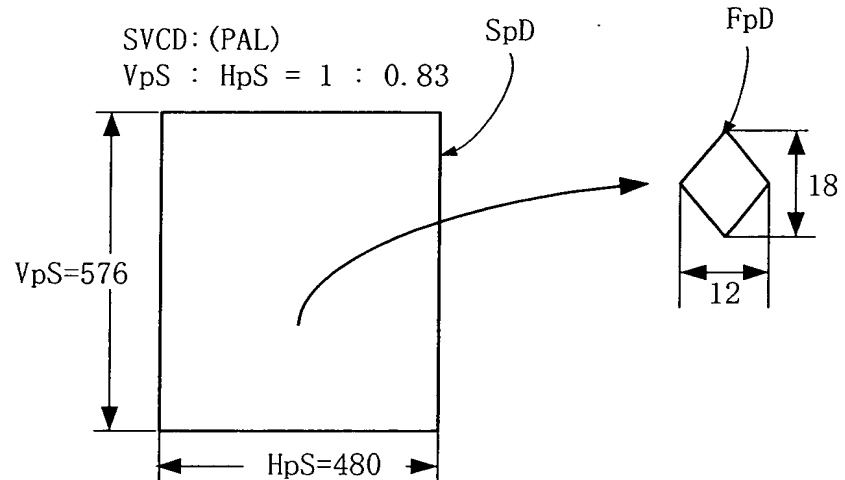
*Fig. 16C Prior Art*



0967134 10E00



*Fig. 17B Prior Art*



*Fig. 17C Prior Art*

